

(163)

(排ガス情報のダイナミック制御への適用に関する研究-1)

新神戸製鋼所 中央研究所 成田貴一 富田昭津 片桐 望 佐藤哲郎

1. 緒言 サブランスによるダイナミック制御によって LD 転炉の吹止適中率は最近大巾に上昇した。

しかし、連続情報である排ガス分析値を活用できれば更に高い適中率も可能になると考えられる。そこで吹鍊末期の脱炭モデルを理論的に展開してその可能性について検討した。

$$\begin{aligned} -\frac{dx}{dt} &= a[1 - \exp(-bx)] \quad (1) \\ -abt &= \ln[\exp(+bx) - 1] + I \quad (2) \end{aligned}$$

(1)式の積分 (I : 積分定数)

(2)式の積分を t から $t + \tau$ までとし
 τ の意味より

$$\begin{aligned} -ab\tau &= P + \ln[\exp(bx) - 1] \quad (3) \\ ab(t-t_0) &= P - P_0 \quad (6) \end{aligned}$$

(1), (2)より x を消去し、初期条件より

$$x = \frac{1}{b} \ln \left[1 + \frac{\varphi_0}{1-\varphi_0} \exp\{-ab(t+\tau-t_0)\} \right] \quad (8)$$

变形

$$\varphi = \frac{1 - \exp(bx)}{1 - \exp(bx) - \exp(-ab\tau)} \quad (4)$$

变形

$$\varphi = \frac{1}{1 + \frac{1-\varphi_0}{\varphi_0} \exp(ab(t-t_0))} \quad (7)$$

(C-t 間の関係)

$(\varphi-C)$ 間の同時的関係

初期条件: $t = t_0$ の時 $\varphi = \varphi_0$, $x = x_0$

(C-t 間の関係)

$-dx/dt$: 脱炭速度 (%/min)
 $x = C - c_0$: 鋼浴炭素濃度 (%)
 a, b, c_0 : 定数
 t : 時間 (min)
 τ : 排ガス情報の遅れ時間 (min)
 $\varphi = -\frac{1}{a} \frac{dx}{dt}$: 脱炭酸素効率 (-)
 $P = \ln(1-\varphi)/\varphi$ (-)

図 1 転炉吹鍊末期の脱炭モデルの展開 (Exponentialモデルの場合)

2. Exponential モデルの理論的展開: 各種のモデルについて展開を行なつたがここでは Exponential モデルについての結果を図 1 に示す。(1)式の積分として得られる(2)式より次の 3 つの場合が導びかれる。

2.1 C と φ の間の同時的関係: (2)式の積分区間を t から $t + \tau$ とし、 $t = t + \tau$ の時に観測される φ は $t = t$ の時炉内で生起した φ であるという関係を用いれば $t = t$ の時の C を消去できて(3)式を得る。これが実際の転炉で観測される C と φ の関係を与える式で、(4)・(5)式のように変形する事もできる。(4)式で $\tau = 0$ とおくと(1)式に帰着する。(4)式を図示すると図 2 のようになり(1)式と比べて低炭領域で高目の曲線となっている。2.2 φ と t の関係: これは(6)式によつて示される、脱炭速度チャート図形に対応する式である。図 3 に示すように S 字形の曲線となり実際のチャート図形とよく対応している。2.3 C と t の関係: (8)式によつて表わされる。これは(7)式の積分としても、(5)(7)式より φ を消去する事からも得られる。

3. 式中のパラメータの意味

 a : a は酸素流量 FO_2 (Nm^3/min)、鋼溶重量 $W(t)$ を用いて(9)式のように表わされる。また、 $-\frac{dc}{dt}$ と R (排ガス分析より得られる脱炭速度 kg/min) は(10)式のように結びつけられる。 $a = 12FO_2 / (11.2 \times 0.01 \times 1000W)$ (9)

$$-dc/dt = R / (0.01 \times 1000W) \quad (10)$$

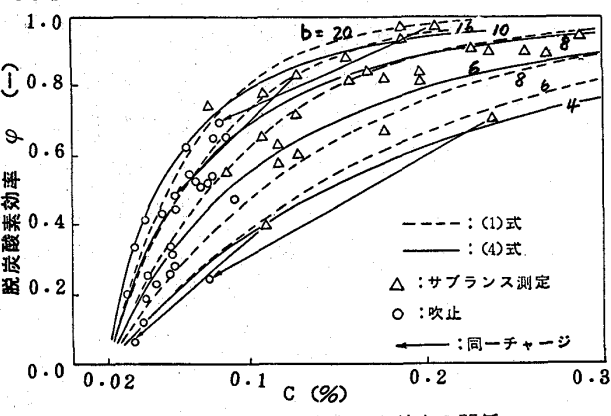
 c_0 : 脱炭下限の事で、本研究では $c_0 = 0.02\%$ としている。 b : チャージ毎に決る脱炭速度の指標で、 a , c_0 が上のように与えられた場合これによつて脱炭軌道を一つ特定できる。4. 遅れ時間 τ の推定: 脱炭速度計が吹鍊終了時の脱炭速度の急減を検出するまでの時間より 0.4 分程度の値を得た。

図 2 鋼浴炭素濃度と脱炭酸素効率の関係

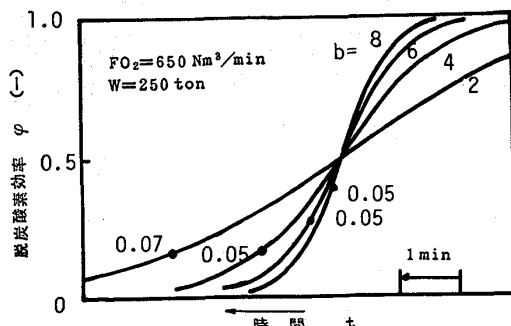


図 3 脱炭酸素効率の経時変化 (7)式